

Nb Yn

10

VII 9-164 1949

NbJ₅, TaJ₅ (P, Tm, Δ Hs)

Alexander K.M., Fairbrother F.

J.Chem.Soc., 1949, 2472-76.

The halides of columbium and tantalum.
II. The vapor pressure of tantalum
pentaiodide. (TaI₅)

Be,

CA, 1950, 44, 2879f

Tags

(Nº 3)

Mémo.

1956

Chaignean M.

C. R. Acad. sci., 1956, 242, N° 2, n° 263-265

O norgrenium nogueirae meliacearum
geniculatum pacuabensis nogueira
americanae ha okuride.

Stemma nogueirae  ^{litterata}
nogueirae leucostachys

1957

Меноо.

N^o 3

Chaigneau ell.

N^o 2

C. R. Acad. Sci., 1957, 245, № 21,
1805-1806.

Duiogus геноид.

X-

58-13-42811

VII 2061

1958

NB 74 (Ts)

Corbett J.D., Seabrough P.X.

J. Inorg. and Nucl. Chem.,

1958, 6, a 3, 207-209.

PKex, 1959, 4135.

есмъ ср.к.

5

VII - 1945

Чижиков Д.И.,

1958

№ 3⁵

Грикко А. И.

№ 3³

Докл. Акад. СССР, 1958, 122,
№ 2, 278-279

Изучен
С.Л.

Понятие и свойства
изогнутого тела.

X-59-6-18749

1960

13B4. Йодидный шовий и некоторые его свойства. Емельянов В. С., Евстюхин А. И., Леонтьев Г. А. В сб. «Металлургия и металловедение чистых металлов». Вып. 2. М., Атомиздат, 1960, 27—48.—Подтверждена возможность термич. диссоциации летучих йодидов Nb. В процессе термич. диссоциации происходит более чем двукратное уменьшение твердости и исчезает 2-я фаза на микрошлифах йодидного Nb, что говорит об его очистке. Кристаллизация при осаждении из газовой фазы зависит от т-ры нити. Твердость прутков, полученных при оптимальном режиме, колеблется по H_B от 56 до 61 кг/мм². Процесс осаждения идет даже в том случае, если только часть йода связана в йодид. Скорость роста возрастает пропорционально увеличению т-ры нити; при увеличении т-ры колбы максимум скорости роста нити наблюдается при 350—360°. Уменьшение скорости роста при дальнейшем подъеме т-ры объясняется пассивирующим действием образующегося низшего йодида. Опробование шлака йодидного Nb электронным пучком; при этом имела место дополнительная очистка. Р. А.

x.1961.13

9 Б177. Кристаллическая структура α -тетраиодида ниобия. Dahl Lawrence F., Wampler Dale L. The crystal structure of α -niobium tetraiodide. «Acta crystallogr.», 1962, 15, № 9, 903—911 (апгл.)

1969

Nb J₄

Рентгенографически (методы Вейссенберга и предцессии, λ Mo-K) исследованы кристаллы α -NbJ₄.

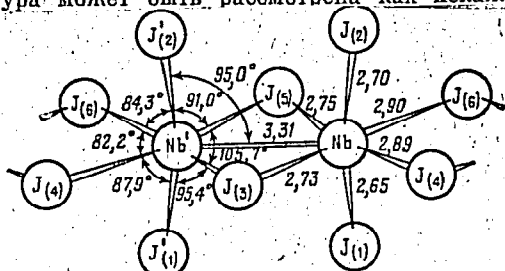
Съемка производилась в запаянных капиллярах, наполненных сухим аргоном. Параметры ромбич. решетки: a 7,67, b 12,23, c 13,93 Å, $Z = 8$, ρ (выч.) 5,64, ф. гр. $Cmc2_1$. Для определения структуры построены проекции Паттерсона и электронной плотности, уточнение производилось с помощью 3-мерного синтеза и методом наименьших квадратов до $R = 8,6\%$. Вводились анизотропные температурные факторы. Атомы Nb занимают позицию 8(b), атомы J — две позиции 8(b) и четыре позиции 4(a) на плоскости отражения.

Структура состоит из бесконечных цепей, параллельных оси a и состоящих из искаженных октаэдров NbJ₆, объединенных друг с другом противоположными ребрами. В двух соседних октаэдрах атомы Nb смешены из центров октаэдров на 0,26 Å по направлению друг к другу. Этот сдвиг, а также наблюдающийся дипамагнетизм α -NbJ₄ объясняется образованием слабой связи Nb — Nb (3,31 Å). Расстояния Nb — J₍₁₎ — Nb — J₍₂₎

X. 1963. 9

лес
МФД

короче, чем расстояния Nb — J в цепи, что совпадает с более высоким порядком этих связей. Найденная структура может быть рассмотрена как искаженная



гексагон. плотная упаковка атомов J, где атомы Nb занимают $\frac{1}{4}$ октаэдрич. пустот, образуя при этом бесконечные линейные цепи. Атомы J расположены в 4 слоях при $y = 0, \frac{1}{4}, \frac{1}{2}$ и $\frac{3}{4}$, атомы Nb — в октаэдрич. пустотах при $y = \frac{1}{8}$ и $\frac{5}{8}$. Отмечаются значительные величины амплитуд тепловых колебаний атомов, учет которых приводит к увеличению межатомных расстояний в среднем на 0,01 Å. Найдено, что $a\text{-NbJ}_4$ имеет структуру TaJ_4 (РЖХим, 1980, № 3, 7905). На основании одинакового окружения всех атомов Nb сделан вывод, что валентное состояние атома Nb равно 4+, а по 3+ и 5+.

З. Старикова

N6-3 Seabaugh P. W., Diss. Absts, 1961, 22, N3, 231 [1961]
N63 "Physical properties of mickium iodides"

N63c

#/Nb	T-pa	Phase
5,00	420°C	metall.
4,00	-503	metall.
	417	фазовый переход ($\beta-\gamma$)
	348	$\phi\beta - \alpha - (\alpha-\beta)$
3,00	526	гетеропоры.
2,67	(> 290°)	(металл.)
	273	
	1063 K	

№ 95

16 Б241. Получение и кристаллическая структура пентайодида ниобия. Littke W., Grauer G. Darstellung und Kristallstruktur von Niobpentajodid. «Z. anorg. und allgem. Chem.», 1963, 325, № 3—4, 122—129 (нем.; рез. англ.)

1963

Крич.
стР.

Кристаллы NbJ_5 получены из элементов в эвакуированной запаянной кварцевой трубке при т-ре 400° на основе описанного ранее метода (РЖХим, 1958, № 14, 46193). Кристаллы — прозрачные пластинки с плоскостью двойникования (100), флуоресцирующие под действием рентгеновского излучения $\text{Cr}-K_\alpha$, $\text{Fe}-K_\alpha$, $\text{Cu}-K_\alpha$, $\text{Mo}-K_\alpha$. Проведены их гониометрич. и рентгенофотографич. (методы вращения, Вейссенберга $\lambda\text{Cu}-K_\alpha$) исследования. Параметры монокл. решетки: $a = 10,58$, $b = 6,58$, $c = 13,88 \text{ \AA}$, $\beta = 109^\circ 14'$, $Z = 4$, ф. гр. $P2_1/c$. Приведены параметры решетки в ромбич. ($a = 6,58$, $b = 13,88$, $c = 39,98 \text{ \AA}$) и гексагон. установке ($a = 4,00$, $c = 6,58 \text{ \AA}$) $\rho(\text{пики}) = 5,32$, $\rho(\text{выч.}) = 5,29$. Вследствие невозможности построить проекции Паттерсона и Фурье из-за двой-

х. 1964. 16

никования кристаллов структура решена в предположении, что атомы J образуют плотнейшую гексагональную упаковку, в октаэдрических пустотах которой расположены атомы Nb. Атомы Nb образуют двойные слои, параллельные (100). Координаты атомов: J в 4 (e) $x, 1/4, z$: (e_1) $x = 0,000, z = 0,333$; (e_2) $0,200, 0,133$; (e_3) $0,400, 0,433$; (e_4) $0,600, 0,233$; (e_5) $0,800, 0,033$; Nb $x, 1/2, z$ с $x = 0,200$ и $z = 0,300$.

Л. Ерман

отл.

NBY | orzei na noke orzejol | 1965

Feber R.C.

Rept ZA-3164, UC-4

ΔH_s; ΔH₍₂₎ Chemistry. TID-4500
(40th. Ed.)

Los Alamos New Mexico, Univ. Calif.
for. 1964; distribut may 1965, p. 97

N6J₂

Ozone sea wave ozone | 1965

Feber R. C.

Rept LA-3164, UC-4

ΔHs; ΔH(2) Chemistry. TID-4500
(40th. Ed.)

Los Alamos New Mexico, Univ. Calif.
for 1964; distributed May 1965. p 97

NB73 Largest sea mouse arrested 1965

Feber R.C.

Rept LA-3164, UC-4

DMS; DMS(2) Chemistry. TID-4500
(40th. Ed.)

Los Alamos New Mexico, Univ. Calif.
Apr. 1964; distributed May 1965, p 94

Nb. 94 [Ozone red smoke ozone] 1965-

Feber R.C.

Rept YA-3164, UC-4

ΔH_s ; ΔH_f) Chemistry. TID-4500
(40th Ed.)

Los Alamos New Mexico, Univ. Calif.
for 1964; distributed May 1965, p. 97

NB 95 [Circeea noreae circumb.] 1965

Feber R. C.

Rept ZA-3164, UC-4

Hs; ΔH(?) Chemistry. TID-4500
(40th Ed.)

Los Alamos New Mexico, Univ. Calif.
Loy. 1964; distribut may 1965, p. 97

BP-625-VII

1965

Nb₃I₈

The vaporization equilibrium for the system triniobium octaiodide-niobium metal. Mary Angela Kust (Iowa State Univ. of Sci. & Technol., Ames). *Univ. Microfilms* (Ann Arbor, Mich.), Order No. 65-4618, 85 pp.; *Dissertation Abstr.* 25(11), 6215-16(1965)(Eng).

SNDC

C.A. 1965. 63. 7
7694 ef

Nb_3I_8 Kurst M.A.
etc. etc.

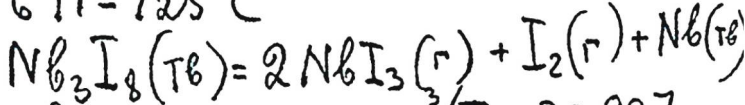
11365

$(\text{OH}_{298}, \text{OS}_{298})$ Diss. Absts, 1965, 25, NII, 6215

Pabrobecnoe vnapenne b cijem

Nb₃I₈ - Nb

611-725°C



$$\lg K_p = -37,964 \cdot 10^3 / T + 33,987$$

$$\Delta H_{937}^{\circ} = 173 \pm 5 \text{ kcal}; \Delta S_{937}^{\circ} = 155,6 \pm 5 \text{ e.u.}$$

на 85

ΔH_{298}° 183 ккал; ΔS_{298}° 172 э.е.



1966

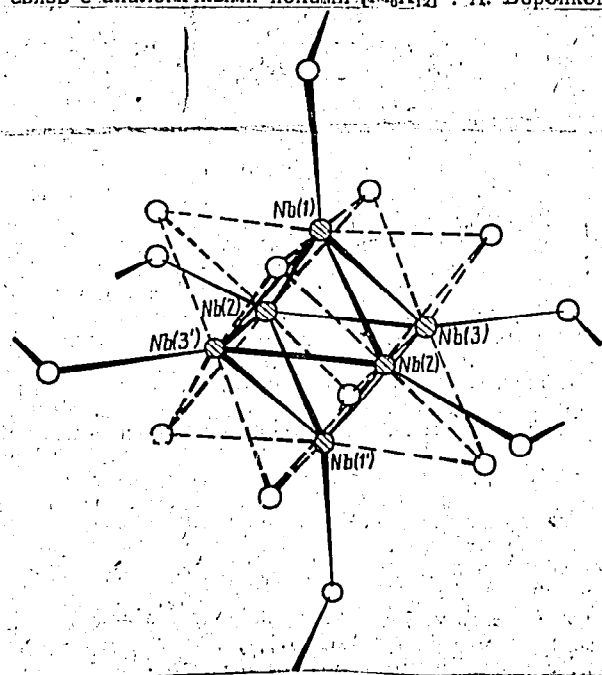
№ 6 № 11
 4 Б272. Структурная характеристика нового ниобиевого субгалогенида Nb_6J_{11} , содержащего впервые обнаруженные группы $[M_6X_8]^n$ с нецелочисленным состоянием окисления металла. Bateman Linda Ratner, Blount John F., Dahl Lawrence F. Structural characterization of a new niobium subhalide, Nb_6J_{11} , containing the first known $(M_6X_8)^n$ group with nonintegral metal oxidation state. «J. Amer. Chem. Soc.», 1966, 88, № 5, 1082—1084 (англ.)

Проведено рентгенографич. исследование (фотографич. метод, λ Mo-К α) кристаллов Nb_6J_{11} (или $NbJ_{1.83}$). Параметры ромбич. решетки: a 15,31, b 11,34, c 13,58 Å, ρ (выч.) 5,21, $Z=4$, ф. гр. $Pccn$. Структура решена методом прямого определения фаз и уточнена трехмерным методом наименьших квадратов (1087 независимых отражений) с учетом анизотропных тепловых факторов; $R(hkl)=0,098$. Структура построена из комплексных групп $[Nb_6J_8]^{3+}$, соединенных друг с другом в 3 взаимно

дов:

Х. 1967. 4

перпендикулярных направлениях мостиковыми атомами J, не входящими в комплекс (см. рис.). Атомы Nb образуют слегка искаженный октаэдр, вписанный в куб из атомов J. Последний в свою очередь вписан в октаэдр из 6 мостиковых атомов — J. Отмечено, что аналогичную конфигурацию имеют ионы $[\text{MO}_6\text{X}_8]^{4+}$ и $[\text{W}_6\text{X}_8]^{4+}$, в которых Mo и W обладают формальной валентностью 2+. В отличие от них атомы Nb в изученной структуре имеют ср. валентность +1,83 (+11/6); однако, из-за отклонения симметрии комплекса от O_h (истинная его симметрия $\bar{1}$) для разных атомов Nb предполагается различное состояние окисления (1+ для одного и 2+ для остальных пяти). В соответствии с симметрией $\bar{1}$ ребра октаэдра Nb—Nb, примыкающие к вершине Nb₍₁₎, неэквивалентны: 2,88 и 2,80; 2,94 и 2,72 Å. В базальной плоскости расстояние Nb—Nb 2,88 Å. Контакты J...J в пределах одного иона 3,88—4,24 Å и Nb—J 2,84—2,90 Å. Обсуждаются электронная конфигурация комплекса и его связь с аналогичными ионами $[\text{M}_6\text{X}_{12}]^n$. А. Воронков



VII 4525

1966

Nb₆T₁₁, Ta₆Cl₁₅, W₆Br₁₆ (xpt. comp.)

Schäfer H., Schüering H. G. von,

Simon A., Giegling D., Bauer D.,

Siepmann R., Spreckelmeyer B.,

J. Less-Common Metals,

1966, 10, x2, 154-155

the xers q.p.k

$\beta\text{-Nb}_3\text{I}_8$

Simon A. u

1966

Schnerring H.G.v.

7. Less-common Metals

11 N1 31

$\beta\text{-Nb}_3\text{Br}_8$ u $\beta\text{-Nb}_3\text{I}_8$

стекло, cb-ba u
супуктура.

(All. Nb_3Br_8) I

VF_5 , NbF_5 , TaF_5 , NbCl_5 , TaCl_5 ,

A-1068 1969

NbBr_5 , NbI_5 , TaI_5 , CrF_5 , MoF_5 , ReF_5 ,

RuF_5 , OsF_5 , RhF_5 , IrF_5 , PtF_5 , MoCl_5 , WCl_5 , WBr_5 ,

ReCl_5 (phis., him. sv-va)

Beveridge A.D., Clark H.C.,

Halogen Chem., 1967, 3, 179-225.

Pentahalides of the transition metals.

Be, M, J,

CA, 1968, 68, N16, 74687e

NbBr_5 , NbI_5 (ΔHf) \mp VII 100.

1967

TaI_5 (ΔHf)

Schafer H., Reine J.,

MQ^④

Z. Anorg. Allg. Chem., 1967, 352 (5-6) 258.

Chemistry of niobium and tantalum
LIX. The enthalpy of formation of:
The halides NbBr_5 and NbI_5 . (A, 1967, B7, J2, 103348g)

ВФ-2706-VII

1968

Nb 3 5
3 8

13 Б743. Равновесия испарения системы Nb_3J_8 (тв.) — Nb_6J_{11} (тв.). — Kuszt M. а. Angela Corbett John D., Friedman Robert M. The vaporization equilibria of the system Nb_3J_8 (s) — Nb_6J_{11} (s). «Inorgan. Chem.», 1968, 7, № 10, 2081—2086 (англ.)

Nb 5 5
6 11

Равновесие твердое — газ в системе Nb_3J_8 (I) — Nb_6J_{11} , изучено методом транспирации (испарения в токе инертного газа с последующей конденсацией испарившихся продуктов) при 613—714°, а также статич. методом при 611—725°. Эксперим. зависимости $\lg P$ от $1/T$, где P — общее давление пара, в обоих случаях близки к прямолинейным и удовлетворительно согласуются между собой. При нагревании I протекают две р-ции: 7/15 Nb_3J_8

K_n,

ДК

X: 1969. 13

(тв.) \rightarrow 1/15 Nb₆J₁₁ (тв.)+NbJ₃ (г.) (1) и 4/5 Nb₃J₈ (тв.) \rightarrow 2/5 Nb₆J₁₁ (тв.)+J₂ (г.) (2). Вычислены величины ΔH° и ΔS° , значения к-рых для р-ции (1) равны соотв. $57,1 \pm 1,8$ и $51,6 \pm 1,7$, а для р-ции (2) $59,3 \pm 2,0$ ккал и $52,1 \pm 1,7$ энтр. ед. При т-рах выше 700° в газовой фазе обнаружены неконтифицированные компоненты. При этих же т-рах NbJ₃ частично реагирует с кварцем с образованием Nb₃Si₃.

С. Огородников

BOP - 2706 - VII

1968

Nb I
3 8

Vaporization equilibrium of the system $\text{Nb}_3\text{I}_8(\text{s})$ -
 $\text{Nb}_6\text{I}_{11}(\text{s})$. Kust, Mary Angela; Corbett, John D.; Friedman,
Robert M. (Iowa State Univ., Ames, Iowa). *Inorg. Chem.* 1968,
(10), 2081-6 (Eng). The equil. relating the solids Nb_3I_8 and
 Nb_6I_{11} have been studied by the transpiration method from 613°
to 714° and by a static method with a diaphragm gage from
611 to 725°. The I/Nb ratio in the gas phase is about 3.95 and
substantially invariant over the range studied. The pressures
obtained by the two different methods are in excellent agreement
up to about 702° on the basis of a gas phase consisting of NbI_3 ,
 I_2 , and I with the indicated const. compn. For the vaporization
reaction $\frac{1}{15}\text{Nb}_3\text{I}_8(\text{s}) = \frac{1}{15}\text{Nb}_6\text{I}_{11}(\text{s}) + \text{NbI}_3(\text{g})$, $\Delta H^\circ_{297} =$
 $57.1 \pm 1.8 \text{ kcal.}$, $\Delta S^\circ_{297} = 51.6 \pm 1.7 \text{ entropy units (eu)}$, and

ΔH

ΔS

C.A. 1968

69.24

for the reaction $\frac{4}{5}\text{Nb}_3\text{I}_8(s) = \frac{2}{5}\text{Nb}_6\text{I}_{11}(s) + \text{I}_2(g)$, these quantities are 59.3 ± 2.0 kcal. and 52.1 ± 1.7 eu, resp. An addnl. unidentified gaseous component begins to contribute to the equil. total pressures very far above 700° . At about the same point $\text{NbI}_3(g)$ begins to attack the Vycor container to form Nb_2Si_3 , while oxide from the glass is transported to the cooler sample, where it forms NbOI_2 . These reactions result in a slow drift of the total pressures to values about one-third higher than for the above equil.

RCHH

Nb I

VII-4102

1969

*42998c Physicochemical study of niobium iodides. Grin'ko,
~~A. M.~~ (Inst. Elektrosvarki im. Patona, Kiev, USSR). Ukr.
Khim. Zh. 1969, 35(4), 345-7 (Russ). Thermographs were ob-
tained while heating Nb-I mixts. in sealed tubes. Between 179
and 470°, heat is liberated due to the production of NbI₅. An
endothermic dip is present in this peak at 270-320° due to the
melting of NbI₅. Based on the 2 areas, the approx. heats of
melting and formation are 9 and 80 kcal./mole, resp. At 653°,
the endothermic decompr. of NbI₅ begins. When heated at a
pressure of 0.0001 mm. Hg, NbI₅ decomp. at ~200° to NbI₄,
after which NbI₃ and NbI₂ are formed, at ~650° and 950°,
resp. Metallic Nb is increasingly present above 700°, and the
triiodide sublimes at 400-600°. The vapor pressure of I over
NbI₅ at 607° is 1 atm. John Howe Scott

Δμ_m

ΔH_f

C.A.

1969. 71.10

NB 97
5

1977

Barker J. et al.

298 - 800 m.s)
600 - 620 pc)

~~v. I; p. 553~~
v. II; p. 444



(cont. AG-1)

1978

№_x №_y

5 Е533. Электрическая проводимость йодидов ниобия. Kawamura H., Shirotani I., Tachikawa K. Electrical conductivities of niobium iodides. «Techn. Rept ISSP», 1978, A, № 894, 19 pp., ill. (англ.)

Соединения NbJ₅, NbJ₄, Nb₃J₈ имеют сильно анизотропную кристаллич. структуру, Nb₃J₈ — квазидвумерную, NbJ₄ — квазиодномерную. Измерена проводимость σ этих соединений при т-рах $T=200-330^{\circ}\text{K}$ и давлениях P до 160 кбар. Анизотропия σ при комнатной т-ре в Nb₃J₈ ~2 в NbJ₄ ~5. $\sigma(T)$ имеет полупроводн. характер. В NbJ₄ и Nb₃J₈ энергия активации уменьшается с давлением. При $P \approx 150$ кбар NbJ₄ переходит в металлич. фазу. Аналогичный переход в Nb₃J₈ предсказываетя при $P \approx 210$ кбар. При комнатной т-ре измерена термо-э. д. с. NbJ₄ (0,8 мв/град). Е. А. Андрюшин

(12)

ф. 1979 № 5

9 Е678. Вызванный давлением переход металл-диэлектрик в квазиодномерном тетраиодиде ниобия. Kawamata H., Shirotanii I., Tachikawa K. Pressure induced insulator-metal transition in quasi one-dimensional niobium tetraiodide. «Phys. Lett.», 1978, A65, № 4, 335—336 (англ.)

1978

Четырехзондовым методом измерена зависимость уд. сопротивления ρ от давления P и т-ры T в NbJ_4 . Монокристаллы NbJ_4 размером $2 \times 0,3 \times 0,3$ мм выращивались с помощью термич. разложения NbJ_5 . При $T = 300^\circ\text{K}$ величина продольного ρ ($\rho_{||}$) составляет 300 ом·см. При низких P температурная зависимость $\rho_{||}(T)$ носит чисто активационный характер: $\rho_{||}(T) \sim \sim \exp(-E_a/T)$. Найдена зависимость активационной энергии E_a от P . При $P=0$ $E_a=0,12$ эв, при $P=100$ кбар $E_a=0,06$ эв. Приведена зависимость $\rho_{||}(P)$ при $T=300^\circ\text{K}$ и $\rho_{||}(T)$ при $P=150$ кбар. При $P \geq 150$ кбар температурная зависимость удельного сопротивления $\rho_{||}(T)$ становится чисто металлической. Предполагается, что это обстоятельство связано с фазовым переходом металл — диэлектрик при высоких давлениях. Найдена сжимаемость NbJ_4 вдоль осей a , b и c при $P=200$ кбар: $b/b_0=0,81$, $a/a_0=c/c_0=0,905$. Обсуждается природа фазового перехода металл — диэлектрик в NbJ_4 .

А. А. Гоголин

№ 74

1tz

при высоких
давл.

(ρ)

(ρ при 150 кбар)

03.15.78/119

1980

№ 74

№ 72

ΔH_f ; ΔS_f

З Б843. Исследование условий обращения направления транспорта при осаждении ниобия из паров его иодидов. Евстюхин А. И., Шулов В. А., Гаврилов И. И., Коленский И. Л., Кучерявый С. И. «Металлургия и металловед. чист. мет.» (Москва), 1980, № 14, 8—16

Получены оценочные значения энталпии и энтропии образования йодидов ниобия в газ. и тв. состояниях, позволившие провести термодинамич. анализ равновесного состава газовой фазы в системе ниобий—

Х. 1981 № 3

йод при т-ре 200—2000°. Показано, что транспорт ниобия в системе ниобий—йод осуществляется по р-циям $(NbJ_4) \rightleftharpoons [Nb] + 4J$; $(NbJ_2) \rightleftharpoons [Nb] + 2J$, причем градиенты парц. давл. тетраидида и дийодида ниобия имеют разные знаки. Экспериментально получены значения т-ры подложки и испарителя, при к-рых наблюдается обращение направления транспорта ниобия при т-ре сырья около 430°. Впервые определены константы в ур-нии закона действующих масс для р-ции диссоциации дийодида ниобия при т-рах 1000—1400°. Резюме

Nb₆J₁₁

1980

Fr;

↗

(+)

1 Б482. Экспериментальное исследование физических и структурных свойств кластерных соединений Nb₆J₁₁ и HNb₆J₁₁. Finley J., Imoto H., Simon A. Experimental investigation of the physical and structural properties of the cluster compounds Nb₆I₁₁ and HNb₆I₁₁. «2. Vortragstag. Ges. Dtsch. Chem. Fachgruppe Festkörperforschung, Stuttgart, 1980. Kurzref.» S. I., s. a., 35 (англ.)

Проведено рентгенографич. (методы порошка и монокристалла) электрич. и магнитное исследование соединений Nb₆J₁₁ (I) и HNb₆J₁₁ (II), содержащих октаэдрич. кластеры Nb₆. Для обоих соединений установлен переход в высокотр. модификации (при т-рах: 275 К для I и 310 К для II), сопровождающийся переходом из нецентросимметрич. в центросимметрич. фазы с изменением ф. гр. от P2₁cn до Pccn. С. В. Соболева

X. 1982, 19AB, N1.

1980

NbJ₅

12 Б391. Получение, структура и свойства новой модификации NbJ₅. Krebs Bergt, Singam Diet-hard. Darstellung, Struktur und Eigenschaften einer neuen Modifikation von NbJ₅. «Z. Naturforsch.», 1980, B 35, № 1, 12—16 (нем.; рез. англ.)

Проведено рентгеноструктурное исследование (дифрактометр, λ Mo, ω —2 Θ -метод; 2728 отражений, анизотропное приближение, $R=0,049$) монокристаллов NbJ₅ (I), полученных из стехиометрич. смеси элементов при давл. 3—4 бар и т-ром градиенте 230—400°. Кристаллы I трикл., a 7,591, b 10,322, c 6,977 Å, α 90,93, β 116,17, γ 109,07°, ρ (выч.) 5,30, ρ (изм.) 5,28, $Z=2$, ф. гр. $\bar{P}1$ (тест на ацентричность не проводился). Структура I может быть интерпретирована как слабо искаженная плотнейшая упаковка ионов J, 2/5 октаэдрич. пустот к-рой заселены атомами Nb. I содержит димерные группировки Nb₂J₁₀, межатомные расстояния Nb—J для мостиковых связей 2,933—2,939, для концевых 2,639—

кристал
стягущ.

2. 1980. N/2

2,720 Å, при этом межъядерные связи в димере располагаются в одной плоскости. Углы JNbJ составляют 79,96—94,19, 102,42, 167,78—169,63°, расстояния J—J 3,897—4,499 Å. Проведено сравнение I со структурами TaJ₅, NbJ₄, ZrJ₄, изотипного β-UCl₅ (II). Взаимосвязь параметров решеток I и II задается матрицей: $a' = a + c$, $b' = b$, $c' = -c$, где a' , b' , c' — параметры решетки I. В ИК-спектрах I обнаружены полосы поглощения при 148, 202, 214 и 242 см⁻¹. Магнитные измерения показали диамagnetизм I в температурном интервале 295—90 K, $\chi_g^\infty = -0.09 \cdot 10^{-6}$ см³/г.

В. Б. Калинин

Че Г

Nb₆J₁₁

1981

З Б932. Переходы с пересечением уровней в кластерных соединениях Nb₆J₁₁ и HNb₆J₁₁. Finley J. J., Nohl H., Vogel E. E.,imoto H., Camley R. E., Zevin V., Andersen O. K., Simon A. Level-crossing transition in the cluster compounds Nb₆I₁₁ and HNb₆I₁₁. «Phys. Rev. Lett.», 1981, 46, № 22, 1472—1475 (англ.)

С использованием рентгенографич., термодинамич. и магнитохим. данных, а также данных расчета МО рассмотрены фазовые переходы в Nb₆J₁₁ и HNb₆J₁₁, характеризующиеся одновременным изменением крист. структуры и спинового состояния (вследствие, пересечения энергетич. уровней).

С. Ш. Шильштейн



(71)



X. 1982, 19, N3.

Nb₆J₁₁

1981

З E544. Переход с пересечением уровней в кластерных соединениях Nb₆J₁₁ и HNb₆J₁₁. Level-crossing transition in the cluster compounds Nb₆J₁₁ and HNb₆J₁₁. Finley J. J., Nohl H., Vogel E. E., Imoto H., Samley R. E., Zevin V., Andersen O. K., Simon A. «Phys. Rev. Lett.», 1981, 46, № 22, 1472—1475 (англ.)

Tc;

Экспериментально обнаружен и исследован связанный электронный и структурный переход в кластерных соединениях Nb₆J₁₁ и HNb₆J₁₁. По структуре они аналогичны фазам Шевреля (тесно связанные кластеры Nb₆J₈ или HNb₆J₈, расположенные далеко друг от друга и соединенные избыточными атомами J). d-Электроны локализованы на кластерах и обладают локализованными спинами. При переходе ($T_c=274$ К в Nb₆J₁₁ и 324 К в HNb₆J₁₁) происходит понижение симметрии решетки и одновременно пересечение электронных термов; экспериментально обнаружена λ -аномалия в теплоемкости, появление новых рефлексов в рассеянии рентгеновских лучей и заметное изменение магн. восприимчиво-

↗
H
HNb₆J₁₁

φ. 1982, 18 № 3

сти. Переход по существу является переходом «высоко-спиновое — низкоспиновое состояние»: вследствие изменения энергетич. уровней кластера состояние со спином $S=3/2$ в Nb_6J_{11} и $S=1$ в $\text{HNb}_6\text{J}_{11}$ переходит при понижении т-ры соответственно в $S=1/2$ и $S=0$. Прямой расчет энергетич. уровней кластера подтверждает эту картину перехода и позволяет хорошо описать эксперим. данные, в частности, поведение магн. восприимчивости.

Д. Хомский

тоян

Nb₆I₁₁

1981

) 4 E491. Связанный с пересечением уровней с разным спином переход в кластерных соединениях Nb₆I₁₁ и HNb₆I₁₁. Spin crossover transition in the cluster compounds Nb₆I₁₁ and HNb₆I₁₁. Finley J. J., Samley R. E., Vogel E. E., Zevin V., Gmelin E. «Phys. Rev. B: Condens. Matter.», 1981, 24, № 3, 1323—1332 (англ.).

Gj

(41)

Исследуются уд. теплоемкости и магн. восприимчивость кластерных соединений Nb₆J₁₁ и HNb₆J₁₁. Изменение уд. теплоемкостей указывает на фазовые переходы (ФП) при $T_c=274$ и 324 К соответственно; а недавние данные по рассеянию рентгеновских лучей свидетельствуют о структурном характере рассматриваемых ФП. Из данных по магн. восприимчивости следует, что при ФП снимается вырождение основного электронного состояния кластера, аналогично эффекту Яна—Теллера. В отличие от последнего в кластерных соединениях наблюдается не обычное расщепление

9.1982, 18, N 4.

Nb₆J₁₁

1981

6 Б908. Переход с пересечением спинов в кластерных соединениях Nb₆J₁₁ и HNb₆J₁₁. Finley J. J., Camley R. E., Vogel E. E., Zevin V., Gmelin E. Spin crossover transition in the cluster compounds Nb₆J₁₁ and HNb₆J₁₁. «Phys. Rev. B: Condens. Matter», 1981, 24, № 3, 1323—1332 (англ.)

В интервале т-р 150—450 К измерения уд. теплоемкости показали наличие пика при 274К у порошкообразного образца Nb₆J₁₁ (I) и двух пиков при 324 и 385К у другого кластерного соединения HNb₆J₁₁ (II). Формы всех пиков характеризуют фазовые переходы (ФП) 2-го рода. Второй пик у II отвечает выпадению гидрида NbH_x, где $0,7 \leq x \leq 0,9$. Сравнение с лит. данными по рентгенографич. изучению показывает, что оба первых пика отвечают структурному ФП с деформацией кластеров. В полях до 10 Гс в интервале т-р 10—700К измерены магнитные восприимчивости (χ) на монокристаллах I и порошках II. В области 40—170К χ для I подчиняется закону Кюри—Вейсса с основным состоянием $S=1/2$. Выше 274К χ также при-

Cp;

(+)

X. 1982, 19 N 6.

близительно подчиняется этому закону с $S=3/2$. В области 170—274К вырожденность основного электронного состояния кластера уменьшается при ФП. В П поведение χ также подтверждает структурный ФП от высокотривального триплета к синглету. В области 324—400 К $d\chi/dT > 0$. Сопоставление с теор. предсказаниями показывает, что в отличие от ФП обычного кооперативного эффекта Яна—Теллера, в данном случае вырождение основных состояний происходит вследствие пересечения электронных уровней, начинаящегося из-за деформации исходной структуры. В рамках теории среднего поля предложена модель восприимчивости системы с двумя уровнями. Предположено, что аналогичный ФП можно вызвать действием одного давления.

В. А. Ступников

ектр.
B'

1982

Nb₆J₁₁

12 Б776. Структурное исследование фазовых переходов, сопровождающихся изменением спина, в кластерных соединениях Nb₆J₁₁ и HNb₆J₁₁. Imoto Hideo, Simon Arndt. Structural study of the spin-crossover transition in the cluster compounds Nb₆J₁₁ and HNb₆J₁₁. «Inorg. Chem.», 1982, 21, № 1, 308—319 (англ.)

В т-рном диапазоне 110—350 К исследована крист. структура кластерных соединений Nb₆J₁₁ и HNb₆J₁₁. Показано, что магнитные переходы дублетного спино-вого состояния в квартетное для Nb₆J₁₁ и синглетно-го в триплетное для HNb₆J₁₁ сопровождаются одинаковыми структурными фазовыми переходами λ-типа, приводящими к изменению пространственной группы от P₂1cn к Pccn, при 274 (Nb₆J₁₁) и 324 К (HNb₆J₁₁).

По резюме

Х. 1982, 19, N 12.

Nb₆J₁₁

1983

6 Б3229. Исследование при высоком давлении кластерного соединения Nb₆J₁₁. High pressure study of the cluster compound Nb₆J₁₁. Wu M. K., Chui C. W., Di-salvo F. J., Tagascon J. M. «High Pressure Sci. and Technol. Proc. 9 AIRAPT Int. High Pressure Conf., Albany, N. Y., 24—29 July, 1983. Pt 3». New York e. a. 1984, 125—127 (англ.)

В аппарате высокого давл. с наковальнями Бриджмена (в кач-ве среды, передающей давл., использован стеатит), в диапазонах т-р 300—1,2 К и давл. 1—150 кбар, исследованы барич. и т-рные зависимости электросопротивления R (на частоте 37 Гц) кластерного соединения Nb₆J₁₁. В зависимости R от т-ры при 1 кбар в районе $T_p = 268$ К наблюдается изменение наклона, приписываемое структурному фазовому переходу (аномалии, по лит. данным, наблюдаются и при магн., термич. и рентгеновских исследованиях при 274 К и давл. 1 бар). С ростом давл. T_p понижается

X. 1985, 19, N 6

до 200 К при 150 кбар, активац. энергии обоих фаз также понижаются и сближаются. Величина R при 300 К понижается на 3 порядка при изменении давл. от 1 до 60 кбар, и далее на 60% падает при давл. 150 кбар. Однако при этом давл. соединение остается полупроводником, хотя и с очень маленькой щелью.

В. А. Ступников

Nb₆J₁₁
DNb₆J₁₁

1984

18 Б2040. Nb₆J₁₁, DNb₆J₁₁ и HNb₆J₁₁: исследование нейтронографическим методом порошка и методом неупругого рассеяния нейтронов. Nb₆I₁₁, DNb₆I₁₁, and HNb₆I₁₁: a powder neutron diffraction and inelastic scattering study. Fitch Andrew N., Garrett S. Andrew, Fender Brian E. F., Simon Arndt. «J. Chem. Soc. Dalton Trans.», 1984, № 4, 501—505 (англ.)

Проведено исследование структуры DNb₆J₁₁ нейтронографич. методом ($\lambda = 2,41 \text{ \AA}$, Гемонохроматор с $2\theta = 90^\circ$, многодетекторный дифрактометр с $2\theta_{\max} = 100^\circ$) и спектров неупругого рассеяния нейтронов на Nb₆J₁₁, HNb₂J₁₁ и DNb₆J₁₁ (спектрометр с Ве-фильтром на «горячем» источнике, $\Delta E = 50—300 \text{ мэВ}$). Ромбич. решетка низкосимм. формы DNb₆J₁₁ (коми. т-ра) описывается ф. гр. $P2_1cn$, $a = 11,293$, $b = 15,440$, $c = 13,453 \text{ \AA}$. Атомы D смешены на $0,37 \text{ \AA}$ из центров тяжести Nb-октаэдров, что приводит к различию длин связей Nb—D ($1,77—2,40 \text{ \AA}$).

Структура

Х. 1984, 19, N 18

Длина связей Nb—Nb 2,80—3,07, Nb—J 2,71—3,24 Å. В спектрах неупругого рассеяния $\text{H}\text{Nb}_6\text{J}_{11}$ наблюдается широкая сильная линия с энергией 135 мэВ, обусловленная деформацией связей Nb—H. Большая ширина пика связывается с различием длин этих связей.

С. Ш. Шильштейн

NbI₄(2)

[Ovnl. 18673]

1984

100: 74934n Thermodynamic properties of the niobium-iodine system. Hinode, Hirohumi; Wakihara, Masataka; Kamiya, Shigeki; Saeki, Masanobu; Taniguchi, Masao (Dep. Chem. Eng., Tokyo Inst. Technol., Tokyo, Japan 152). *Chem. Lett.* 1984, (1), 63-6 (Eng). Equil. vapor pressures of Nb-I system were measured by using a Bourdon's gauge at 293-1050 K. By considering the main gaseous species of the Nb-I system at high temps., the std. Gibbs' energy functions, $\Delta G^\circ = -21.0 \times 10^3 + 10.1T$ ($T = 850\text{--}1000$ K), were calcd. for the reaction $\text{Nb(s)} + 2\text{I}_2\text{(g)} \rightleftharpoons \text{NbI}_4\text{(g)}$ from both the partial pressures and material balances.

$\Delta f, k_p$

C.A. 1984, 100, N10

NbJ₄

См. 18673

1984

13 Б3047. Термодинамические свойства системы Nb—J. Thermodynamic properties of the Nb—J system. Hinode Hirohumi, Wakihara Masataka, Kamiya Shigeki, Saeki Masanobu, Toguchi Masa o. «Chem. Lett.», 1984, № 1, 63—66 (англ.)

При т-рах от 293 до 1050 К с использованием трубки Брудона измерены равновесные давл. паров в системе Nb—J. По результатам измерений давл. паров и состава системы рассчитаны стандартная энергия Гиббса р-ций Nb (тв.) + 2J₂ (г) ⇌ NbJ₄, составляющая при т-рах от 850 до 1000 К — 21,0 · 10³ + 10,1 T (T — абрс. температура).

Резюме

X.1984, 19, N/3

1984

Nb₆J₁₁

3 E726. Изучение кластерного соединения Nb₆J₁₁ под высоким давлением. High pressure study of the cluster compound Nb₆J₁₁. Wu M. K., Chu C. W., Disalvo F. J., Tarascon J. M. «High Pressure Sci. and Technol. Proc. 9 AIRAPT Int. High Pressure Conf., Albany, N. Y., 24—29 July, 1983, Pt 3». New York e. a., 1984, 125—127 (англ.)

Методом измерения электросопротивления R исследованы фазовые превращения упорядоченного соединения Nb₆J₁₁, содержащего кластеры Nb₆J₈, при давлениях до 150 кбар и т-рах от комнатной до 1,2 К. Т-ра T_c -фазового перехода, равная при атмосферном давлении 274 К, с повышением давления снижается. Величина R резко уменьшается при повышении давления — на 3 порядка при 60 кбар по сравнению с атмосферным. Этот эффект указывает на сильное перекрытие атомных орбиталей между кластерами Nb₆J₈ вследствие уменьшения межкластерного расстояния. Падение R сопровождается значительным сужением энергетич. щели, хотя она и не достигает нуля, т. е. соединение не переходит в металлич. фазу.

А. И. Коломийцев

T_c :

сб. 1985, 18, № 3

№ 35

1985

Чикасов А.Д., Моремова Л.И.

Ти_n,
поли-
мор-
физм.

Воронеже. УН-т. Воронеже,
1985, №., ил. Библиогр. 5наго
(Рукопись деп. в ОНИИТЭ
жес. 1. Черкассы 24 июня
1985 г., № 627хп-85 Дер.).

(см. Таблица 1)

NB 95

OM: 21412

1985

Loose W., Monheim B.,
Schäfer H.,

P3;

Z. anorg. und allg. Chem.;
1985, 522, N3, 108-116.

NB3₄

1985

Monheim Bertiam,
Schäfer Harald.

4fH; Z. anorg. und allg.
Chem., 1985, 520, N 1,

84-92.

(see NB2₄; I)

NB7₅

1985

Monheim Bertram,
Schäfer Harald.

(ΔH_{soln}) Z. anorg. und allg.
Chem., 1985, 520, N1,
87-92.

(cfr. NBB24; I)

N69

1988

Hilpert Klales,
Miller Miroslaw.

(P), $\Delta_2 H$, High Temp.-High
 $\Delta_2 S$, $\Delta_{diss} H$, Pressures 1988, 20,
 $\Delta_{diss} S$; (2), 231-8.
(c.c., NaDyI₄; I)

№ 38

1994

1 Б3015. Теплоемкость и термодинамические функции
Nb₃I₈ в интервале 8,5—300,6 К /Амитин Е. Б., Минен-
ков Ю. Ф., Пауков И. Е., Сысоев С. В., Голубенко А. Н.
//Ж. физ. химии .—1994 .—68 , № 7 .—С. 1332—1333
.—Рус.

Р вакуумном адиабатич. калориметре измерены теп-
лоемкости Nb₃I₈ в интервале 8,5—300,6 К. По полученным
данным определены значения энтропии, энтальпии и при-
веденной энергии Гиббса.

(G)

Сделать K/K

ж. 1995, № 1

$Nb_3 I_8 (K)$

1994

C_p

8.5 - 300.6

121: 309520z Heat capacity and thermodynamic functions of $Nb_3 I_8$ over 8.5 - 300.6 K. Amitin, E. B.; Minenkov, Yu. F.; Paukov, I. E.; Sysoev, S. V.; Golubenko, A. N. (Inst. Neorg. Khim., Novosibirsk, Russia). *Zh. Fiz. Khim.* 1994, 68(7), 1332-3 (Russ). The heat capacity of $Nb_3 I_8$ was detd. in the range 8.5 - 300.6 K by a vacuum adiabatic calorimeter. Using the heat capacity data entropy, enthalpy and Gibbs free energy functions values were calcd.

Zh. Fiz. Khim., 1994, 68, N7, 1332 - 1333

$(C_p, f, H-H, \Delta f)$

C.A. 1994, 121, N 26

d. Nb₄

(Om. 40548)

1947

128: 209507b Thermodynamic parameters of niobium tetraiodide between 7 and 740 K. Stenin, Yu. G.; Karpova, T. D.; Berzovskii, G. A.; Sysoev, S. V.; Golubenko, A. N. (Inst. Neorg. Khim., RAN, Novosibirsk, Russia). *Zh. Fiz. Khim.* 1997, 71(11), 1941–1944 (Russ), MAIK Nauka. The heat capacity of α -NbI₄ was measured in the temp. range 7–300 K using a vacuum adiabatic calorimeter. The enthalpy difference ($H^\circ(T) - H^\circ(298.15\text{ K})$) of α -, β - and γ -NbI₄ were measured at 335–740 K using a mixing calorimeter. The std. values of heat capacity, enthalpy, entropy and free energy function of NbI₄ were calcd.

C, H_T - H₂₉₈,
S

Zh. Fiz. Khim., 1997, 71(11) 1941–1944 p.

CA 1998, 122, NIT



Nb₃I₈

Om. 40549

1998

F: Nb₃I₈

P: 1

C_p,
H-H
130:257871 Thermodynamic functions of niobium
iodide Nb₃I₈ in the range 8-1016.8 K. Sysoev, S.
V.; Stenin, Yu. G.; Karpova, T. D.; Golubenko, A.

N. Titov, V. A.; Berezovskii, G. A. (Inst. Neorg. Khim., Ross. Akad. Nauk Si Otd., Novosibirsk, Russia). Zh. Fiz. Khim., 72(12), 2155-2157 (Russian) 1998 Enthalpy changes values $H_0(T)-H_0(298.15\text{ K})$ of cryst. Nb₃I₈ are measured i the temp. range 358.4-1016.8 K by the method of mixing calorimetry.

The isobaric heat capacity of this compd. is measured in the temp. range 81.5 K. in addn. to early obtained values for the temp. range 8.5-300.6 K. Th smoothed values of $C_p^0(T)$ for Nb₃I₈ (cryst) in the temp. range 8.5-1016.8 obtained by joint treatment of both sets of exptl. results. The std. val enthalpy changes, entropy and Gibbs energy are calcd.